

Ao introduzirmos a *Integral Definida* vimos que ela pode ser usada para calcular *áreas sob curvas*. Veremos neste capítulo que existem outras aplicações. Essas aplicações estendem-se aos mais variados campos do conhecimento e, apenas para citar dois desses campos, destacaremos a Geometria e a Física. Na Geometria, além do *cálculo de áreas sob curvas* como já vimos, podemos usar a *Integral Definida* para calcular *comprimento de arcos* e *volumes*; na Física, para calcular o *trabalho realizado por uma força*, *momento*, *centros de massa* e *momento de inércia*, além de várias outras aplicações. Faremos aqui, apenas, aplicações geométricas.

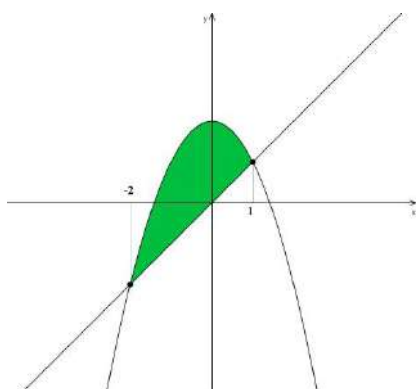
### 11.1 Áreas entre curvas

Denominaremos por *área entre curvas* a área de regiões limitadas por curvas que são gráficos de funções. Vamos considerar, para melhor entendimento, o exemplo a seguir.

#### Exemplo 11.1

Calcular a área limitada pelas curvas

$$y = x \text{ e } y = -x^2 + 2$$



Observe, no gráfico ao lado, que as curvas se interceptam nos pontos de coordenadas  $(1,1)$  e  $(-2,-2)$ . A área procurada está representada pela região colorida.

Usando a notação de área sob curvas podemos escrever:

$$A = A_{-\sqrt{2}}^1(-x^2 + 2) - A_0^1(x) + A_{-2}^0(-x) - A_{-2}^{-\sqrt{2}}(x^2 - 2)$$

e, daí,

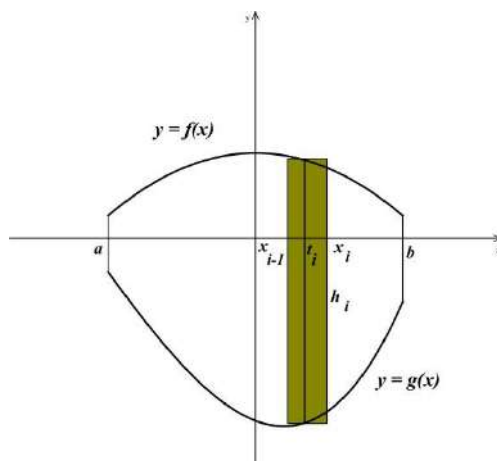
$$A = \left[ -\frac{x^3}{3} + 2x \right]_{-\sqrt{2}}^1 - \frac{1}{2} + 2 - \left[ \frac{x^3}{3} - 2x \right]_{-2}^{-\sqrt{2}} = \frac{9}{2}$$

Este cálculo pode ser simplificado através do método que passaremos a descrever. Para isso vamos considerar duas funções  $f$  e  $g$ , contínuas em  $[a, b]$ , com  $f(x) \geq g(x)$  para todo  $x \in [a, b]$ , e a região do plano limitada pelos gráficos de  $f$ , de  $g$  e pelas retas verticais  $x = a$  e  $x = b$  (a figura abaixo é um esboço da região descrita).

Façamos uma partição do intervalo  $[a, b]$ , através dos pontos:

$$a = x_0 \leq x_1 \leq \dots \leq x_{i-1} \leq x_i \leq \dots \leq x_n = b$$

e sejam  $\Delta x_i = x_i - x_{i-1}$  e  $t_i \in [x_{i-1}, x_i]$ , com  $i = 1, 2, 3, \dots, n$ .



Para cada  $i$  podemos inscrever na região considerada um retângulo de base  $\Delta x_i$  e altura  $h_i(t_i)$ , como mostrado ao lado. A soma  $S_n$  das áreas desses retângulos, dada por

$$S_n = \sum_{i=1}^n h_i(t_i) \Delta x_i$$

é uma aproximação da área da região considerada.

Na construção das áreas dos retângulos referidos anteriormente devemos considerar os três casos diferentes para o cálculo de  $h_i(t_i)$ , em razão das diferentes situações que a região considerada pode se apresentar.

- 1)  $f(t_i) \geq 0$  e  $g(t_i) \geq 0 \Rightarrow h_i(t_i) = f(t_i) - g(t_i)$ ;
- 2)  $f(t_i) \geq 0$  e  $g(t_i) < 0 \Rightarrow h_i(t_i) = f(t_i) + |g(t_i)| = f(t_i) - g(t_i)$ ;
- 3)  $f(t_i) < 0$  e  $g(t_i) < 0 \Rightarrow h_i(t_i) = |g(t_i)| - |f(t_i)| = -g(t_i) + f(t_i) = f(t_i) - g(t_i)$ .

Nos três casos temos  $h_i(t_i) = f(t_i) - g(t_i)$  e, portanto,

$$S_n = \sum_{i=1}^n h_i(t_i) \Delta x_i = \sum_{i=1}^n [f(t_i) - g(t_i)] \Delta x_i.$$

É de se esperar que, quando  $\Delta x_i \rightarrow 0$ , a área procurada será dada por:

$$A = \lim_{n \rightarrow \infty} \sum_{i=1}^n [f(t_i) - g(t_i)] \Delta x_i = \int_a^b [f(x) - g(x)] dx.$$

Voltando ao Exemplo 11.1 podemos, agora, resolvê-lo pelo novo método:

$$\int_{-2}^1 [-x^2 + 2 - x] dx = \left[ -\frac{x^3}{3} + 2x - \frac{x^2}{2} \right]_{-2}^1 = \frac{9}{2}.$$

## Exercício 11.1

1) Calcular a área limitada pelas curvas:

a)  $y = x^3$  e  $y = x^2$

b)  $y = x^2, y = x^2 + 2x + 2$  e  $y = x^2 - 2x + 2$

c)  $y = -x^2 + 8$  e  $y = 2x^2 - 1$

d)  $x = 4 - y^2$  e  $2x = 3 - y^2$

e)  $y = 2x^2, y = \frac{1}{4}x^2$  e  $y = -2x + 12$ , no primeiro quadrante.

2) As curvas  $y = -2x^2 + 2, y = x^2 - 1$  e  $x = 2$  limitam uma região no plano que apresenta o formato de um peixe. Esboce o gráfico da região e calcule a sua área.

3) Esboce a região do plano limitada pela parábola  $y = 9 - x^2$ , pela reta tangente a esta parábola no ponto  $x = 2$  e pelo eixo  $x$ . Em seguida, calcule a sua área.

4) Encontre a área da região limitada pelas parábolas de equações:  $y = -x^2 + 4, y = 4x - x^2$  e  $y = -(x^2 + 4x)$ .

## 11.2 Volumes de sólidos de revolução

Muitos dos sólidos com que trabalhamos podem ser obtidos através da rotação de uma região plana em torno de um eixo, denominado *eixo de rotação*. A esfera, por exemplo, pode ser obtida girando um semicírculo em torno de um eixo que contenha o diâmetro do semicírculo. Sólidos obtidos dessa forma são chamados *sólidos de revolução*.

Dada certa região plana pode-se gerar uma infinidade de sólidos de revolução, cada um deles obtido em função de um determinado eixo de rotação.

Consideraremos somente as situações em que o eixo de rotação é paralelo a um dos eixos coordenados e região plana limitada por gráficos de funções contínuas. Para tanto, seja  $y = f(x)$  contínua em  $[a, b]$  e tomemos a região limitada pelo gráfico da função, pelo eixo  $x$  e pelas verticais  $x = a$  e  $x = b$  (Fig.1). A Fig.2 apresenta o sólido de revolução gerado pela rotação da região descrita, em torno do eixo  $x$  (Fig. 2).

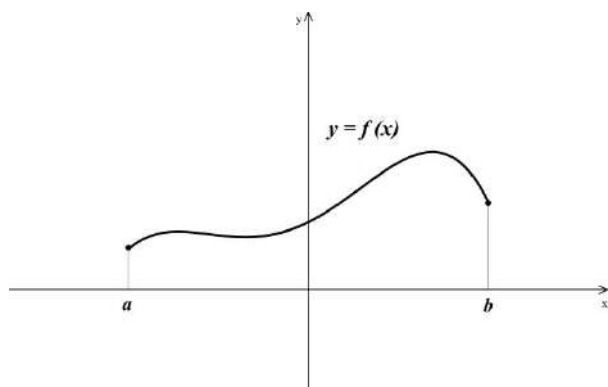


Fig.1

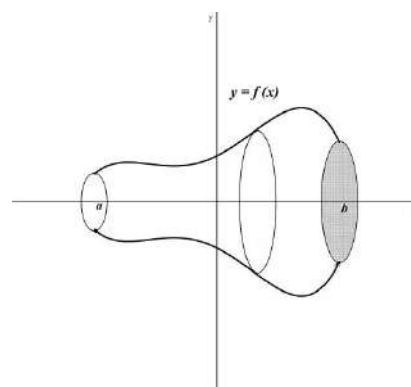


Fig.2

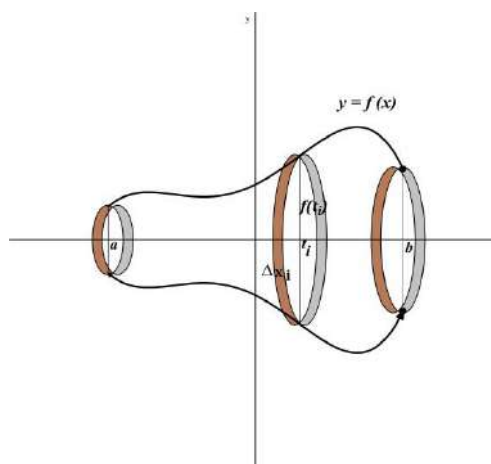
Para chegarmos à integral definida que nos dê o volume do sólido de revolução, obtido como anteriormente, comecemos com uma partição do intervalo  $[a, b]$  e a construção de uma *Soma de Riemann*.

Seja  $P$  uma partição do intervalo  $[a, b]$  através dos pontos

$$a = x_0 \leq x_1 \leq \dots \leq x_{i-1} \leq x_i \leq \dots \leq x_n = b$$

Consideremos  $t_i \in [x_{i-1}, x_i]$ ,  $\Delta x_i = x_i - x_{i-1}$  com  $i = 1, 2, 3, \dots, n$  e, também, como conhecida, a fórmula para o cálculo de volume de um cilindro circular reto.

O volume  $V$  que queremos encontrar será aproximado por uma soma de volumes de cilindros, construídos como na figura a seguir.



Os cilindros considerados possuem raio de base igual a  $|f(t_i)|$  e altura  $\Delta x_i$ . Assim o volume  $V_i$ , do  $i$ -ésimo cilindro é dado por

$$V_i = \pi [f(t_i)]^2 \Delta x_i$$

A soma dos  $V_i$ , indicada por  $S_n$ , nos dá uma aproximação do volume pretendido, ou seja,

$$V \cong S_n = \sum_{i=1}^n \pi [f(t_i)]^2 \Delta x_i.$$

Não é difícil constatar que essa aproximação torna-se cada vez melhor, à medida que aumentamos os pontos da partição tomada para o intervalo  $[a, b]$ . Além disso, a soma apresentada é uma *Soma de Riemann* para a função

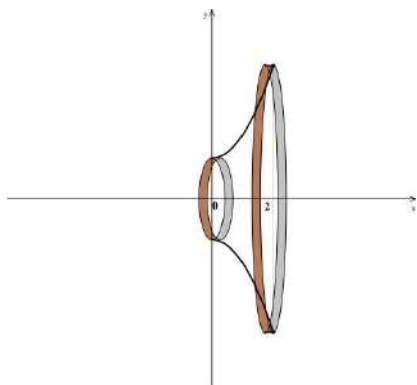
$$F(x) = \pi [f(x)]^2$$

no intervalo  $[a, b]$ . Portanto, podemos definir o *volume de revolução* por

$$V = \int_a^b \pi f^2(x) dx.$$

## Exemplo 11.2

Calcule o volume do sólido de revolução obtido pela rotação, em torno do eixo  $x$ , da região limitada pela parábola  $y = x^2 + 1$ ,  $x = 2$  e pelo eixo  $x$ .



$$V = \int_0^2 \pi(x^2 + 1)^2 dx = \pi \int_0^2 (x^4 + 2x^2 + 1) dx$$

$$V = \pi \left[ \frac{x^5}{5} + \frac{2x^3}{3} + x \right]_0^2 = \frac{206\pi}{15}$$

## Exemplo 11.3

Calcule o volume do sólido obtido pela rotação do disco

$$(y - 2)^2 + x^2 \leq 1$$

em torno do eixo  $x$ .

Observe que o sólido obtido através dessa rotação (figuras 1 e 2) tem o formato de uma câmara de ar de um pneu. Em matemática esse sólido chama-se *Toro*.

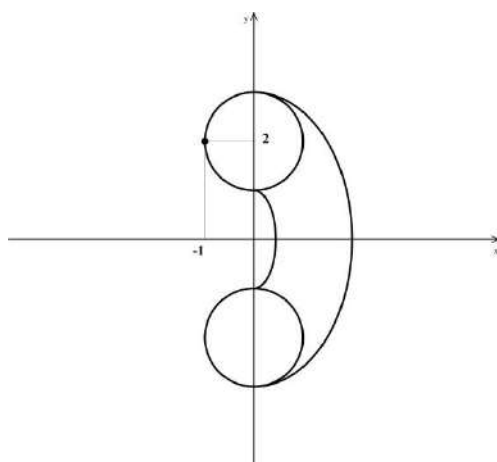


Fig. 1

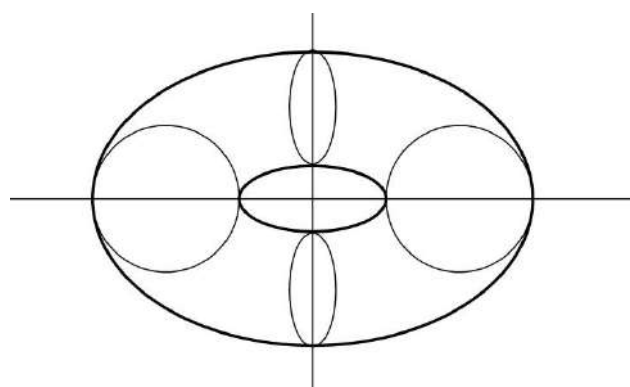


Fig.2

Neste caso, o resultado será obtido calculando-se a diferença dos volumes de dois sólidos de revolução. O volume procurado é a diferença entre os volumes dos sólidos gerados pela região limitada por

$$y = 2 + \sqrt{1 - x^2}, \text{ retas } x = 1 \text{ e } x = -1 \text{ e pelo eixo } x$$

e pela região limitada por

$$y = 2 - \sqrt{1 - x^2}, \text{ retas } x = 1 \text{ e } x = -1 \text{ e pelo eixo } x$$

quando giradas em torno do eixo  $x$ .

Assim, teremos:

$$V = \int_{-1}^1 \pi (2 + \sqrt{1 - x^2})^2 dx - \int_{-1}^1 \pi (2 - \sqrt{1 - x^2})^2 dx$$

$$V = \int_{-1}^1 \pi \left[ (2 + \sqrt{1 - x^2})^2 - (2 - \sqrt{1 - x^2})^2 \right] dx = \pi \int_{-1}^1 8\sqrt{1 - x^2} dx$$

Para resolver esta última integral, façamos a substituição:

$$x = \operatorname{senu}, \quad -\frac{\pi}{2} \leq u \leq \frac{\pi}{2}$$

e teremos que:

$$V = 8\pi \int_{-\frac{\pi}{2}}^{\frac{\pi}{2}} \cos^2 u du = 8\pi \int_{-\frac{\pi}{2}}^{\frac{\pi}{2}} \frac{1 + \cos 2u}{2} du = 4\pi^2.$$

#### Exemplo 11.4

Encontrar o volume do sólido obtido pela rotação do disco

$$(y - 2)^2 + x^2 \leq 1$$

do Exemplo 11.3, agora em torno do eixo  $y$ .

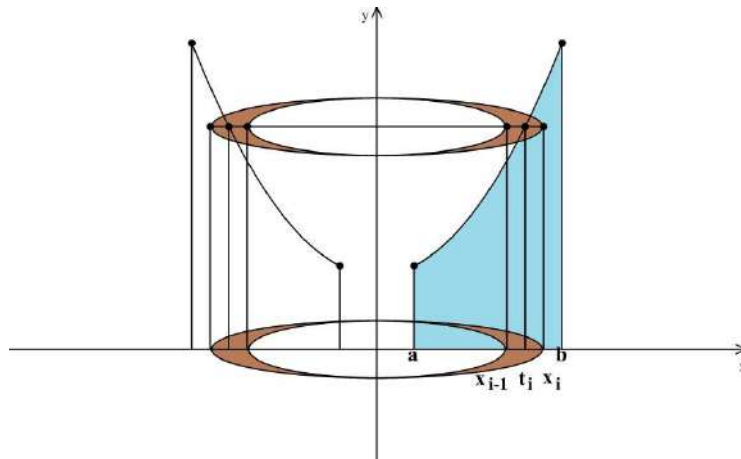
Para rotações desse tipo devemos considerar  $x$  como função de  $y$ :

$$x = f(y) = \sqrt{1 - (y - 2)^2}, \quad 1 \leq y \leq 3.$$

Assim, o volume procurado será dado por:

$$V = \pi \int_1^3 [1 - (y - 2)^2] dy = \frac{4\pi}{3}.$$

Outra aplicação é obtida quando giramos, em torno do eixo  $y$ , uma região limitada pelo gráfico de uma função  $y = f(x)$ ,  $a \leq x \leq b$ , pelas retas verticais  $x = a$  e  $x = b$  e pelo eixo  $x$ . Vamos considerar, como na figura a seguir,  $a \geq 0$  e  $f(x) \geq 0$ .



Seja  $P$  uma partição de  $[a, b]$ , caracterizada pelos pontos:

$$a = x_0 \leq x_1 \leq \dots \leq x_{i-1} \leq x_i \leq \dots \leq x_n = b$$

e seja  $t_i \in [x_{i-1}, x_i]$ ,  $i = 1, 2, 3, \dots, n$ .

Considere  $V_i$  a diferença dos volumes dos dois cilindros de alturas  $f(t_i)$  e raios da base  $r_i = x_i$  e  $r_{i-1} = x_{i-1}$ , respectivamente. Podemos, então, escrever que:

$$V_i = \pi f(t_i) x_i^2 - \pi f(t_i) x_{i-1}^2$$

Vamos aproximar o volume procurado por:

$$V \approx \sum_{i=1}^n V_i = \sum_{i=1}^n \pi f(t_i) (x_i^2 - x_{i-1}^2) = \sum_{i=1}^n \pi f(t_i) (x_i + x_{i-1})(x_i - x_{i-1}) = \sum_{i=1}^n \pi f(t_i) (x_i + x_{i-1}) \Delta x_i$$

Fazendo  $\Delta x_i \rightarrow 0$ , teremos que  $x_i, x_{i-1} \rightarrow t_i$  ou  $x_i + x_{i-1} \rightarrow 2t_i$ . Desta forma, para  $n$  suficientemente grande, teremos:

$$V \approx \sum_{i=1}^n 2\pi t_i f(t_i) \Delta x_i.$$

Assim, definimos o volume como

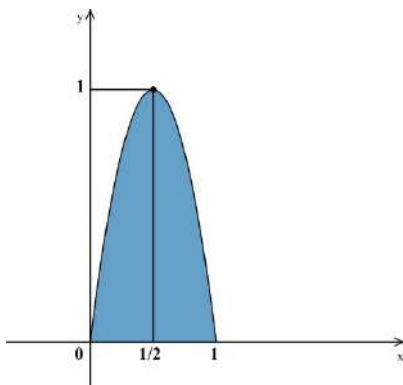
$$V = \lim_{n \rightarrow \infty} \sum_{i=1}^n 2\pi t_i f(t_i) \Delta x_i$$

ou seja

$$V = \int_a^b 2\pi x f(x) dx.$$

### Exemplo 11.5

Calcular o volume obtido ao girar, em torno do eixo  $y$ , a região limitada pela parábola  $y = 4(x - x^2)$  e o eixo  $x$ .



$$V = 8\pi \int_0^1 x(x - x^2) dx = \frac{2\pi}{3}$$

Observe que para usarmos o processo utilizado no Exemplo 11.4, para calcularmos o volume do exemplo anterior, teríamos de isolar  $x$  em termos de  $y$  e considerar uma diferença de volumes.

### Exercício 11.2

1) Calcular os volumes dos sólidos obtidos pela rotação da região dada em torno do eixo indicado:

- Limitada por  $y = \sqrt{x}$ ,  $0 \leq x \leq 4$  e o eixo  $x$ , em torno do eixo  $x$ ;
- A mesma região do item a), girada em torno do eixo  $y$ ;
- Limitada por  $y = x^{3/2}$ , eixo  $x$  e a reta  $x = 1$ , em torno do eixo  $y$ ;
- Limitada por  $y = 9 - x^2$ , pelo eixo  $x$  e pelas retas  $x = 1$  e  $x = 2$ , em torno do eixo  $y$ ;
- Limitada por  $y = x$  e  $y = x^3$  em torno do eixo  $x$  e, depois, em torno do eixo  $y$ .

2) Verifique, usando os processos desenvolvidos nesta seção, que o volume da esfera de raio  $R$  é igual a  $(4/3)\pi R^3$ .

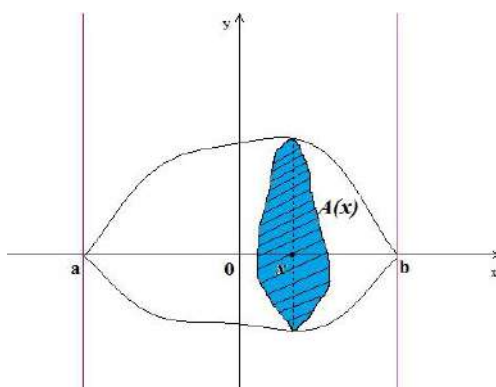


### 11.3 Volume de um sólido cuja seção plana tem área dada

Nesta seção obteremos uma fórmula para o cálculo de volumes, mais geral do que a obtida para volumes de sólido de revolução.

Dado um sólido tal que suas seções transversais, em relação a um determinado eixo, tenham áreas conhecidas, veremos como é possível calcular o seu volume através de uma integral. Para facilitar, tomaremos o eixo transversal às seções planas como sendo o eixo  $x$ .

Vamos considerar o sólido compreendido por dois planos perpendiculares ao eixo horizontal contendo, respectivamente, as retas verticais  $x = a$  e  $x = b$ , conforme figura a seguir.



Seja  $P$  uma partição de  $[a, b]$  dada por

$$a = x_0 \leq x_1 \leq \cdots \leq x_{i-1} \leq x_i \leq \cdots \leq x_n = b$$

Conhecendo  $A(x)$ , a área da seção transversal ao eixo  $x$ , para cada elemento  $x$  de  $[a, b]$ , podemos, então, aproximar o volume procurado por

$$V \approx \sum_{i=1}^n V_i$$

onde  $V_i = A(t_i)\Delta x_i$  é o volume de um sólido cuja área da base é  $A(t_i)$ ,  $t_i \in [x_{i-1}, x_i]$ , e  $\Delta x_i = x_i - x_{i-1}$  a altura, medida ao longo do eixo  $x$ .

Então, podemos dizer que:

$$V \approx \sum_{i=1}^n A(t_i) \Delta x_i.$$

Ao fazer  $n \rightarrow \infty$ , teremos  $\Delta x_i \rightarrow 0$  e, assim, definimos:

$$V = \lim_{n \rightarrow \infty} \sum_{i=1}^n A(t_i) \Delta x_i$$

ou seja

$$V = \int_a^b A(x) dx.$$

### Exemplo 11.6

Calcular o volume do sólido cuja base é o círculo  $x^2 + y^2 \leq r^2$  e as seções perpendiculares ao eixo  $x$  são retângulos de altura  $r$ .

Para cada  $x \in [-r, r]$  teremos a área da seção expressa por:

$$A(x) = 2yr = 2r\sqrt{r^2 - x^2}.$$

Portanto, o volume  $V$  do sólido é dado por:

$$V = 2r \int_{-r}^r \sqrt{r^2 - x^2} dx$$

Para resolver a integral, basta fazer a seguinte substituição:

$$\frac{x}{r} = \operatorname{senu}, \quad -\frac{\pi}{2} \leq u \leq \frac{\pi}{2}$$

e, como resultado teremos

$$V = \pi r^3.$$

### Exercício 11.3

1) Calcule o volume do sólido cuja base é o círculo  $x^2 + y^2 \leq r^2$  e as seções perpendiculares ao eixo  $x$  são triângulos isósceles retângulos.

2) Calcule o volume do sólido que tem por base a elipse de eixos 10 e 8, sabendo-se que as seções perpendiculares ao eixo maior são quadrados.

3) Calcule o volume do sólido cuja base é o triângulo determinado pelo eixo  $x$ , eixo  $y$  e a reta  $x + y = 1$  e cujas seções transversais ao eixo  $x$  são triângulos equiláteros.

- 4) Mostre que a fórmula para se calcular o *volume de revolução*:

$$V = \pi \int_a^b f^2(x) dx,$$

pode ser obtida pelo método desta seção.

#### Exercício 11.4

- 1) Use os métodos expostos neste capítulo para resolver as questões a seguir.

a) Mostre que o volume do cone de altura  $H$  e raio da base  $R$  é  $(1/3)\pi R^2 H$ .

b) Mostre que o volume do elipsoide de revolução

$$\frac{x^2}{a^2} + \frac{y^2}{b^2} + \frac{z^2}{b^2} = 1$$

é dado por  $(4/3)\pi ab^2$ .

c) Mostre que o volume da pirâmide reta de base quadrada de lados  $a$  e altura  $h$  é dado por

$$V = \frac{1}{3}a^2h.$$

d) Mostre que o volume da pirâmide reta de base quadrada com aresta  $a$  e altura  $h$  é dado por

$$V = \frac{2}{3}h(a^2 - h^2).$$

- 2) Calcule o volume dos sólidos descritos a seguir.

a) Sólido obtido pela rotação da região limitada pelo *eixo x* e pela parábola  $y = x^2 - 4x$ , primeiro em torno do *eixo x* e, depois, em torno do *eixo y*.

b) Sólido cuja base é o círculo  $x^2 + y^2 \leq 1$  e as seções transversais ao *eixo x* são triângulos equiláteros.

c) Sólido obtido pela rotação em torno do *eixo y* da região limitada por  $y = \ln x$ , pelo *eixo x* e pela reta  $x = e$ .

d) Sólido obtido pela rotação em torno do *eixo x* da região limitada por

$$y = x^2, \quad y = x^2 - 4x + 4 \text{ e pelo eixo } x.$$

e) Sólido obtido pela rotação da região limitada pelo *eixo y*, por  $y = \sqrt{x}$  e pela reta  $y = 1$ , primeiramente, em torno do *eixo y* e, depois, em torno do *eixo x*.

f) Sólido cuja base é o triângulo de vértices em  $(0, -1)$ ,  $(2, 0)$  e  $(0, 1)$  e cujas seções perpendiculares ao *eixo x* são círculos centrados nele.

g) Sólido cuja base é o círculo  $x^2 + y^2 \leq r^2$  e as seções perpendiculares ao *eixo x* são quadrados.

h) Sólido obtido pela rotação, em torno da reta  $x = a$ , da região limitada pela parábola  $y^2 = 4ax$  e pela reta  $x = a$ .